

DOI: 10.61818/77090310

ISSN: 2965-7709



Boletín de monitoreo climático de las principales cuencas hidrográficas: Cuenca Amazónica

Volumen 3, Numero 10

Manaus, 5 de marzo de 2025



MINISTÉRIO DA
CIÊNCIA, TECNOLOGIA
E INOVAÇÃO



Boletín de monitoreo climático de las principales cuencas hidrográficas: Cuenca Amazónica

Redactor Jefe Renato Cruz Senna

Meteorólogo

Investigador - CODAM, INPA

Publicación Renato Cruz Senna

Luan Rogério Rodrigues Carvalho

Adriano Nobre Arcos

Tainá Sampaio Xavier Conchy Rocha

Frecuencia Semanal

Corrección y maquetación Inácio de Oliveira Lima Neto

Contacto Instituto Nacional de Pesquisas da Amazônia - INPA

Av. André Araújo, 2.936 - Petrópolis

CEP 69067-375 - Manaus -AM, Brasil

E-mail: renato.senna@inpa.gov.br

clima.amazonia@inpa.gov.br

Telefone: (92) 3643 3154 / 3643-3170

www.instagram.com/clima.amazonia



Esta investigación contó con el apoyo del Programa de Gran Escala Biosfera-Atmósfera en la Amazonía (LBA), coordinado por el Instituto Nacional de Investigaciones Amazónicas (INPA), financiado por el Ministerio de Ciencia, Tecnología e Innovación (MCTI), entidad bajo la administración directa del Gobierno Federal de Brasil.



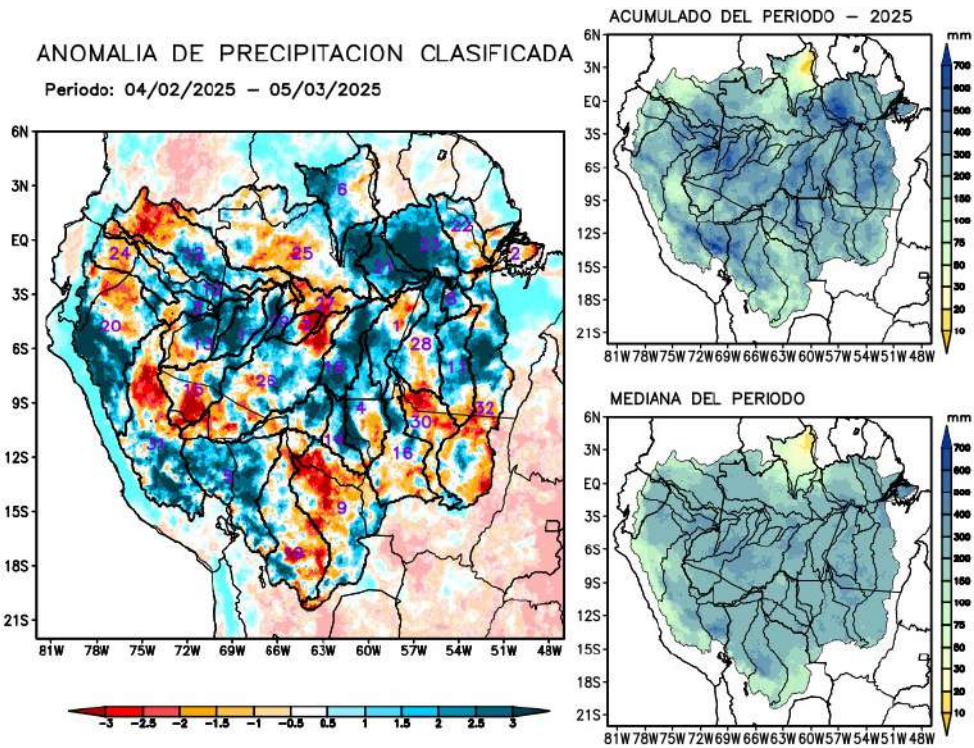
Esta obra está bajo una licencia de Creative Commons Reconocimiento - No Comercial - Sin Obra Derivada 4.0 Internacional.

Índice

Condiciones actuales	1
Cuenca del Río Branco	2
Cuenca del Río Negro	2
Cuenca del Río Marañon	2
Cuenca del Río Ucayali	3
Cuenca del Río Napo	3
Curso principal del Río Amazonas (Perú)	3
Cuenca del Río Javari	4
Cuencas de los ríos Içá y Putumayo	4
Cuenca del Río Jutai	4
Cuenca del Río Juruá	5
Cuencas de los ríos Caquetá y Japurá	5
Cuenca del Río Tefé	5
Cuenca del Río Coari	6
Cuenca del Río Purus	6
Curso principal del Río Solimões	6
Cuenca del Río Beni	7
Cuenca del Río Mamoré	7
Cuenca del Río Guaporé	7
Cuenca del Río Ji-Paraná	8
Cuenca del Río Aripuanã	8
Cuenca del Río Madeira	8
Cuencas de la margen izquierda del Río Amazonas (Amazonas)	9
Cuenca del Río Abacaxis	9
Cuenca del Río Juruena	9
Cuenca del Río Teles Pires	10
Cuenca del Río Tapajós	10
Cuencas de la margen izquierda del Río Amazonas (noroeste do Pará)	10
Cuenca del Río Curuá Una	11
Cuencas de la margen izquierda del Río Amazonas (noreste do Pará)	11
Cuenca del Río Iri	11
Cuenca del Río Xingu	12
Curso principal del Río Amazonas (Brasil)	12
Pronóstico multimodelo subestacional	13
Valores de referencia	15
Categorización de las anomalías de precipitación	16
Comportamiento semanal de anomalías (gráficos auxiliares)	17
Diagrama unifilar de las cuencas indicadas.	20

Condiciones actuales

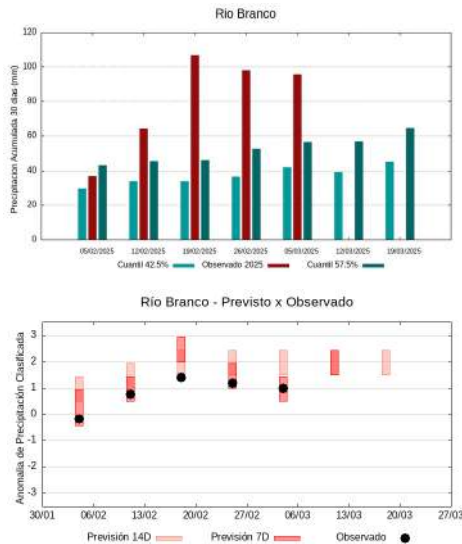
Los mapas de las condiciones de precipitación observadas y los gráficos individuales por cuenca se elaboran a partir de los datos MERGE/GPM generados por el INPE/CPTEC, tomando como climatología el periodo 2000-2024. **Entre el 4 de febrero y el 5 de marzo de 2025, las precipitaciones por debajo de la climatología en el área monitoreada caracterizaron las cuencas de los ríos Coari, Guaporé y Teles Pires con déficit de precipitación, mientras que las precipitaciones por encima de la climatología caracterizaron el curso principal del río Amazonas en territorio peruano, las cuencas de los ríos Abacaxis, Aripuanã, Beni, Branco, Curuá Una, Içá, Iriri, Javari, Ji-Paraná, Jutai, Madeira, Maraón, las cuencas de la margen izquierda del río Amazonas en el noreste del estado de Amazonas y el noreste y noroeste del estado de Pará, Tapajós y Tefé. Comportamiento de las precipitaciones próximo a la climatología sobre el curso principal del río Amazonas en territorio brasileño, las cuencas del Japurá, Juruá, Juruena, Mamoré, Napo, Negro, Purus, Ucayali, Xingu y el curso principal del río Solimões. La previsión multimodelo indica precipitaciones por encima de la climatología para gran parte del área vigilada, concentradas en las cuencas de la margen izquierda del río Amazonas, nacientes y principales formadores del río Solimões, y precipitaciones por debajo de la climatología en el sureste del área vigilada, en las cuencas de Aripuanã, Juruena y Teles Pires en las próximas semanas.**



1	Abacaxis	9	Guaporé	17	Jutai	25	Negro
2	Amazonas (BR)	10	Içá	18	Madeira	26	Purus
3	Amazonas (PE)	11	Iriri	19	Mamoré	27	Solimões
4	Aripuanã	12	Japurá	20	Maraón	28	Tapajós
5	Beni	13	Javari	21	Marg Esq (AM)	29	Tefé
6	Branco	14	Ji-Paraná	22	Marg Esq (PA) NE	30	Teles Pires
7	Coari	15	Juruá	23	Marg Esq (PA) NW	31	Ucayali
8	Curuá Una	16	Juruena	24	Napo	32	Xingu

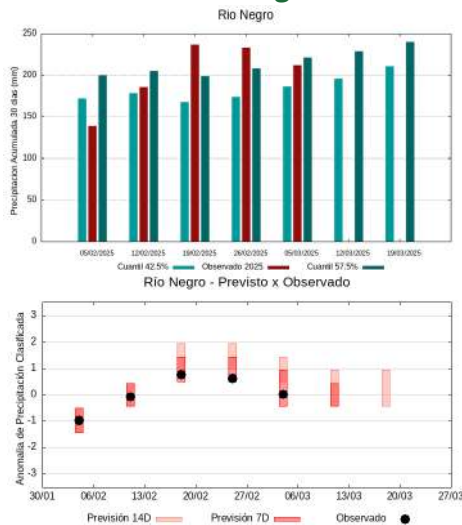
Análise individual por bacia hidrográfica

Cuenca del Río Branco



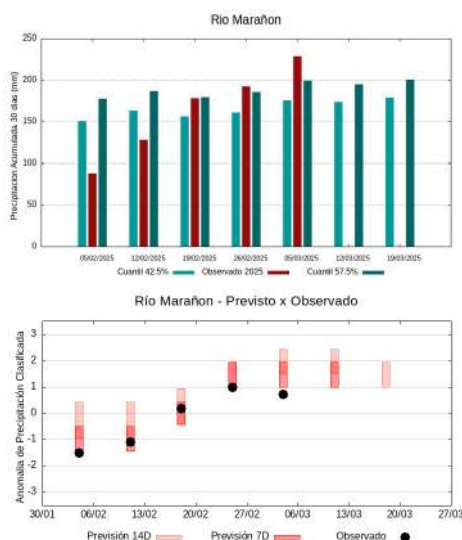
La climatología del período analizado indica precipitaciones consideradas normales con registros que varían entre **42 y 56 mm** (quantiles de referencia 42.5% y 57.5%). El **5 de marzo de 2025**, se observaron **96 mm** de la precipitación media acumulada sobre la cuenca en 30 días, el cálculo de la media del índice de anomalía categorizada en el área de la cuenca el valor de **1.0**, lo que clasifica la cuenca en condición de **lluvioso**. En las próximas semanas, el comportamiento climático indica **elevación** en los volúmenes de lluvia, el modelo de pronóstico subestacional sugiere un comportamiento **muy lluvioso o con tendencia a muy lluvioso**.

Cuenca del Río Negro



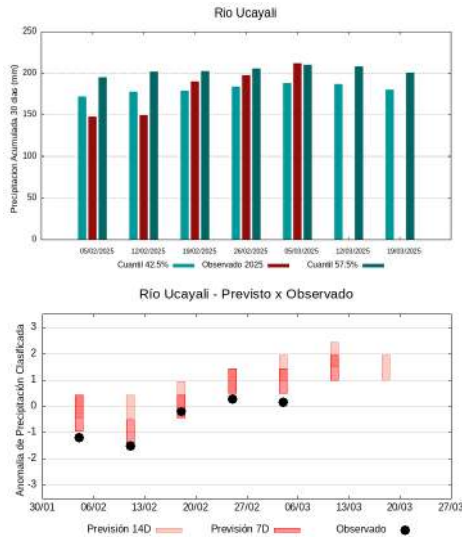
La climatología del período analizado indica precipitaciones consideradas normales con registros que varían entre **186 y 222 mm** (quantiles de referencia 42.5% y 57.5%). El **5 de marzo de 2025**, se observaron **212 mm** de la precipitación media acumulada sobre la cuenca en 30 días, el cálculo de la media del índice de anomalía categorizada en el área de la cuenca el valor de **0.0**, o que clasifica la cuenca en condición de **normalidad**. En las próximas semanas, el comportamiento climático indica **elevación** en los volúmenes de lluvia, el modelo de pronóstico subestacional sugiere un comportamiento **cerca de la normalidad**.

Cuenca del Río Marañón



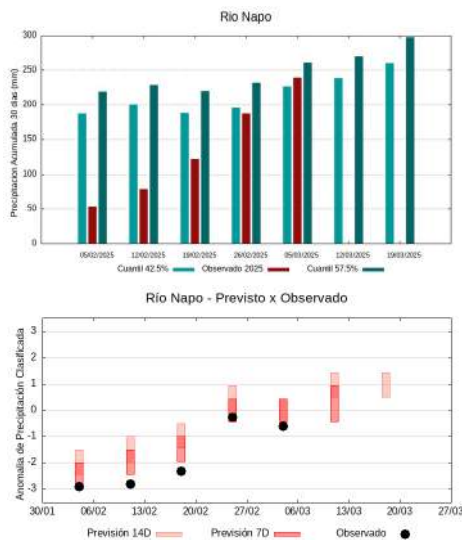
La climatología del período analizado indica precipitaciones consideradas normales con registros que varían entre **176 y 199 mm** (quantiles de referencia 42.5% y 57.5%). El **5 de marzo de 2025**, se observaron **228 mm** de la precipitación media acumulada sobre la cuenca en 30 días, el cálculo de la media del índice de anomalía categorizada en el área de la cuenca el valor de **1.0**, o que clasifica la cuenca en condición de **lluvioso**. En las próximas semanas, el comportamiento climático indica **mantenimiento** en los volúmenes de lluvia, el modelo de pronóstico subestacional sugiere un comportamiento **lluvioso o con tendencia a ser muy lluvioso**.

Cuenca del Río Ucayali



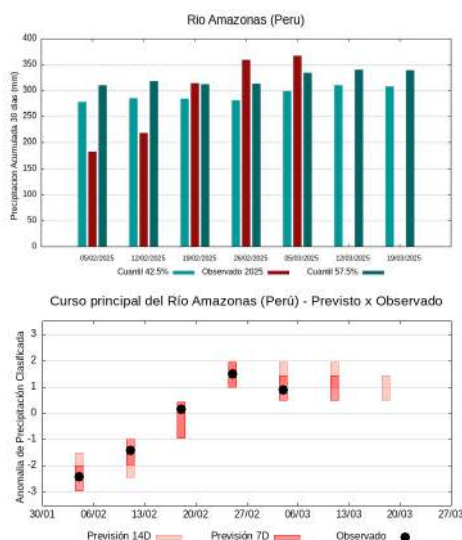
La climatología del período analizado indica precipitaciones consideradas normales con registros que varían entre **188 y 210 mm** (quantiles de referencia 42.5% y 57.5%). El **5 de marzo de 2025**, se observaron **212 mm** de la precipitación media acumulada sobre la cuenca en 30 días, el cálculo de la media del índice de anomalía categorizada en el área de la cuenca el valor de **0.3**, o que clasifica la cuenca en condición de **normalidad**. En las próximas semanas, el comportamiento climático indica **mantenimiento** en los volúmenes de lluvia, el modelo de pronóstico subestacional sugiere un comportamiento **lluvioso o con tendencia a ser muy lluvioso**.

Cuenca del Río Napo



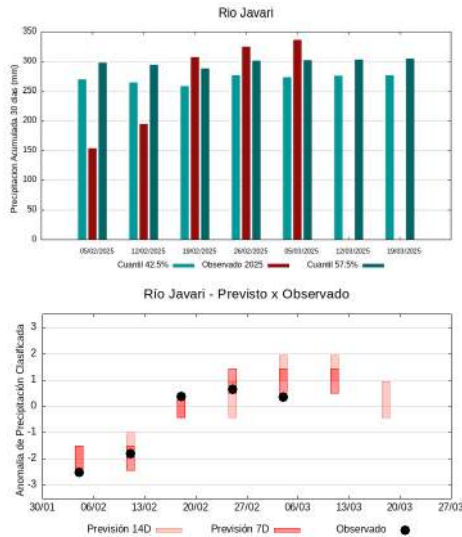
La climatología del período analizado indica precipitaciones consideradas normales con registros que varían entre **227 y 261 mm** (quantiles de referencia 42.5% y 57.5%). El **5 de marzo de 2025**, se observaron **239 mm** de la precipitación media acumulada sobre la cuenca en 30 días, el cálculo de la media del índice de anomalía categorizada en el área de la cuenca el valor de **0.0**, o que clasifica la cuenca en condición de **normalidad**. En las próximas semanas, el comportamiento climático indica **elevación** en los volúmenes de lluvia, el modelo de pronóstico subestacional sugiere un comportamiento **cerca de la normalidad o con tendencia a lluvioso**.

Curso principal del Río Amazonas (Perú)



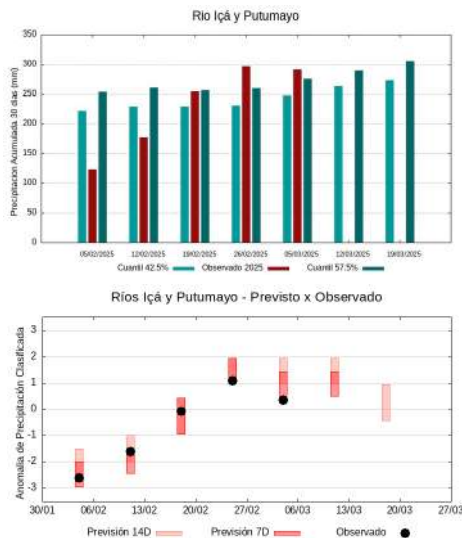
La climatología del período analizado indica precipitaciones consideradas normales con registros que varían entre **299 y 334 mm** (quantiles de referencia 42.5% y 57.5%). El **5 de marzo de 2025**, se observaron **367 mm** de la precipitación media acumulada sobre la cuenca en 30 días, el cálculo de la media del índice de anomalía categorizada en el área de la cuenca el valor de **1.0**, o que clasifica la cuenca en condición de **lluvioso**. En las próximas semanas, el comportamiento climático indica **mantenimiento** en los volúmenes de lluvia, el modelo de pronóstico subestacional sugiere un comportamiento **lluvioso o propenso a lluvioso**.

Cuenca del Río Javari



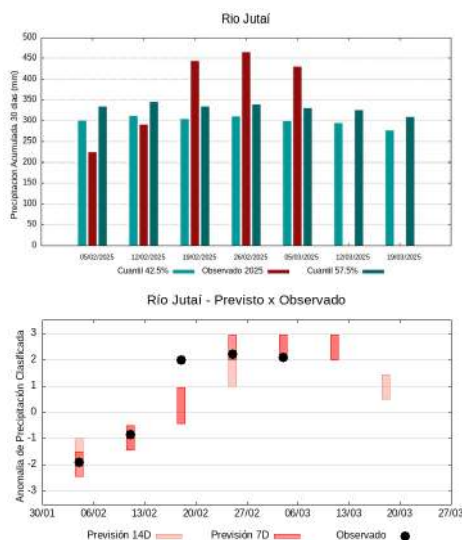
La climatología del período analizado indica precipitaciones consideradas normales con registros que varían entre **273 y 302 mm** (quantiles de referencia 42.5% y 57.5%). El **5 de marzo de 2025**, se observaron **336 mm** de la precipitación media acumulada sobre la cuenca en 30 días, el cálculo de la media del índice de anomalía categorizada en el área de la cuenca el valor de **0.6**, o que clasifica la cuenca en condición de **tendiendo a lluvioso**. En las próximas semanas, el comportamiento climático indica **mantenimiento** en los volúmenes de lluvia, el modelo de pronóstico subestacional sugiere un comportamiento **lluvioso o propenso a lluvioso**.

Cuencas de los ríos Içá y Putumayo



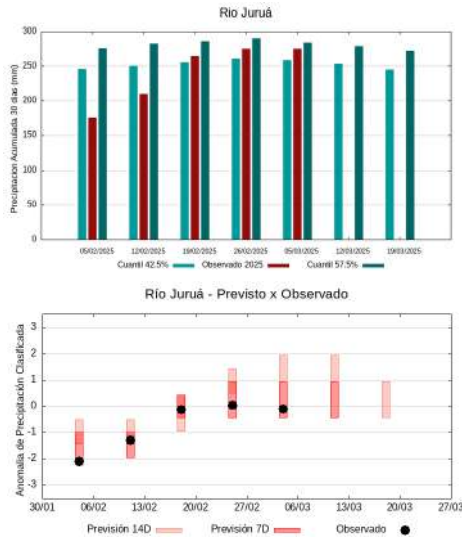
La climatología del período analizado indica precipitaciones consideradas normales con registros que varían entre **248 y 276 mm** (quantiles de referencia 42.5% y 57.5%). El **5 de marzo de 2025**, se observaron **291 mm** de la precipitación media acumulada sobre la cuenca en 30 días, el cálculo de la media del índice de anomalía categorizada en el área de la cuenca el valor de **0.6**, o que clasifica la cuenca en condición de **tendiendo a lluvioso**. En las próximas semanas, el comportamiento climático indica **elevación** en los volúmenes de lluvia, el modelo de pronóstico subestacional sugiere un comportamiento **lluvioso o propenso a lluvioso**.

Cuenca del Río Jutai



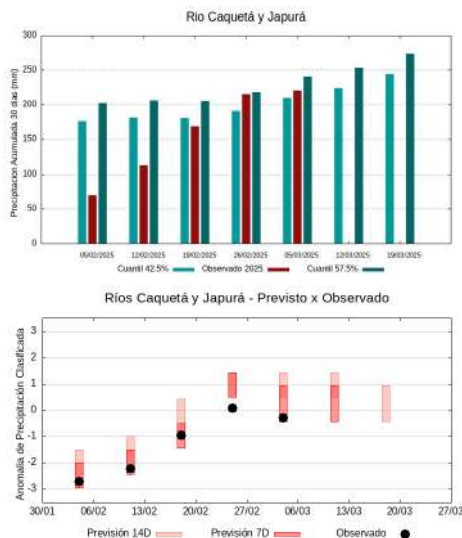
La climatología del período analizado indica precipitaciones consideradas normales con registros que varían entre **298 y 329 mm** (quantiles de referencia 42.5% y 57.5%). El **5 de marzo de 2025**, se observaron **430 mm** de la precipitación media acumulada sobre la cuenca en 30 días, el cálculo de la media del índice de anomalía categorizada en el área de la cuenca el valor de **1.9**, o que clasifica la cuenca en condición de **tendiendo a muy lluvioso**. En las próximas semanas, el comportamiento climático indica **mantenimiento** en los volúmenes de lluvia, el modelo de pronóstico subestacional sugiere un comportamiento **muy lluvioso o con tendencia a ser extremadamente lluvioso**.

Cuenca del Río Juruá



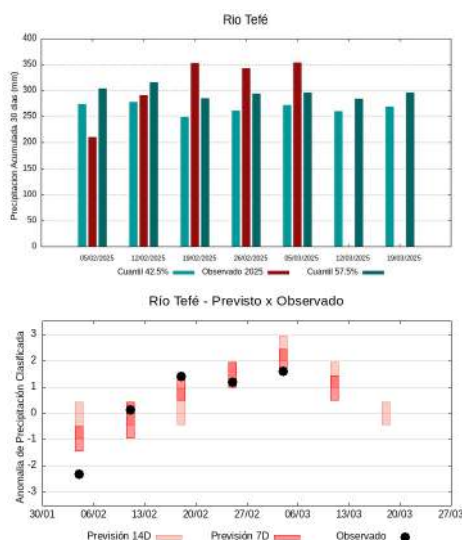
La climatología del período analizado indica precipitaciones consideradas normales con registros que varían entre **259 y 284 mm** (quantiles de referencia 42.5% y 57.5%). El **5 de marzo de 2025**, se observaron **275 mm** de la precipitación media acumulada sobre la cuenca en 30 días, el cálculo de la media del índice de anomalía categorizada en el área de la cuenca el valor de **-0.2**, o que clasifica la cuenca en condición de **normalidad**. En las próximas semanas, el comportamiento climático indica **mantenimiento** en los volúmenes de lluvia, el modelo de pronóstico subestacional sugiere un comportamiento **cerca de la normalidad o con tendencia a lluvioso**.

Cuencas de los ríos Caquetá y Japurá



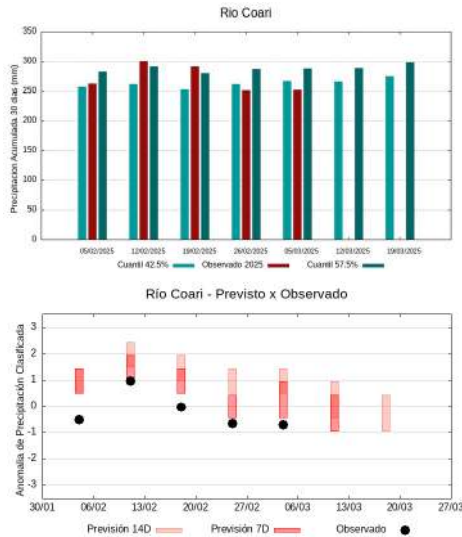
La climatología del período analizado indica precipitaciones consideradas normales con registros que varían entre **210 y 241 mm** (quantiles de referencia 42.5% y 57.5%). El **5 de marzo de 2025**, se observaron **220 mm** de la precipitación media acumulada sobre la cuenca en 30 días, el cálculo de la media del índice de anomalía categorizada en el área de la cuenca el valor de **-0.2**, o que clasifica la cuenca en condición de **normalidad**. En las próximas semanas, el comportamiento climático indica **elevación** en los volúmenes de lluvia, el modelo de pronóstico subestacional sugiere un comportamiento **cerca de la normalidad o con tendencia a lluvioso**.

Cuenca del Río Tefé



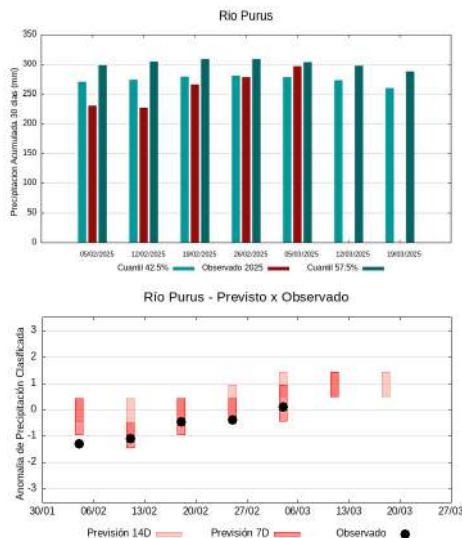
La climatología del período analizado indica precipitaciones consideradas normales con registros que varían entre **272 y 296 mm** (quantiles de referencia 42.5% y 57.5%). El **5 de marzo de 2025**, se observaron **354 mm** de la precipitación media acumulada sobre la cuenca en 30 días, el cálculo de la media del índice de anomalía categorizada en el área de la cuenca el valor de **1.6**, o que clasifica la cuenca en condición de **tendiendo a muy lluvioso**. En las próximas semanas, el comportamiento climático indica **mantenimiento** en los volúmenes de lluvia, el modelo de pronóstico subestacional sugiere un comportamiento **lluvioso o propenso a lluvioso**.

Cuenca del Río Coari



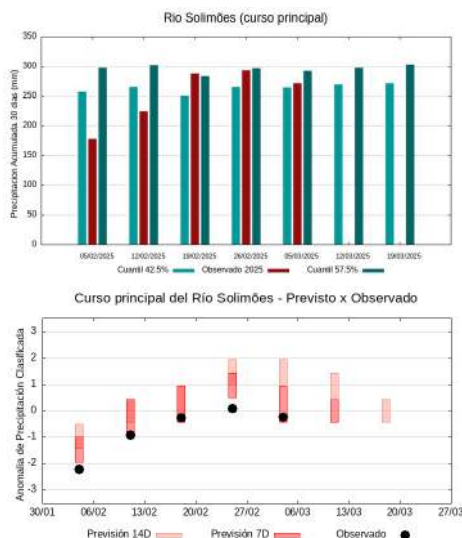
La climatología del período analizado indica precipitaciones consideradas normales con registros que varían entre **267 y 288 mm** (quantiles de referencia 42.5% y 57.5%). El **5 de marzo de 2025**, se observaron **251 mm** de la precipitación media acumulada sobre la cuenca en 30 días, el cálculo de la media del índice de anomalía categorizada en el área de la cuenca el valor de **-0.8**, o que clasifica la cuenca en condición de **tendiendo a seco**. En las próximas semanas, el comportamiento climático indica **mantenimiento** en los volúmenes de lluvia, el modelo de pronóstico subestacional sugiere un comportamiento **cerca de la normalidad o con tendencia a ser seco**.

Cuenca del Río Purus



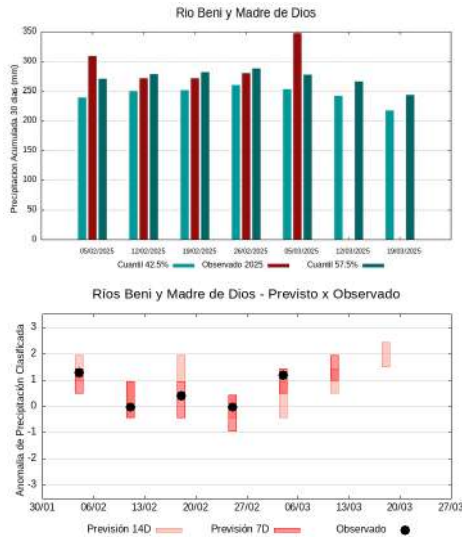
La climatología del período analizado indica precipitaciones consideradas normales con registros que varían entre **278 y 304 mm** (quantiles de referencia 42.5% y 57.5%). El **5 de marzo de 2025**, se observaron **297 mm** de la precipitación media acumulada sobre la cuenca en 30 días, el cálculo de la media del índice de anomalía categorizada en el área de la cuenca el valor de **0.1**, o que clasifica la cuenca en condición de **normalidad**. En las próximas semanas, el comportamiento climático indica **mantenimiento** en los volúmenes de lluvia, el modelo de pronóstico subestacional sugiere un comportamiento **lluvioso o propenso a lluvioso**.

Curso principal del Río Solimões



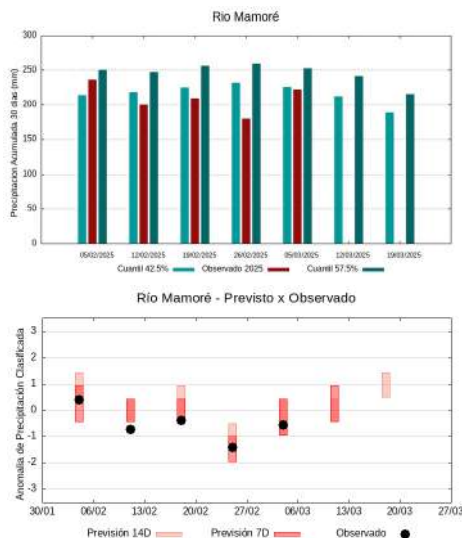
La climatología del período analizado indica precipitaciones consideradas normales con registros que varían entre **265 y 292 mm** (quantiles de referencia 42.5% y 57.5%). El **5 de marzo de 2025**, se observaron **270 mm** de la precipitación media acumulada sobre la cuenca en 30 días, el cálculo de la media del índice de anomalía categorizada en el área de la cuenca el valor de **-0.2**, o que clasifica la cuenca en condición de **normalidad**. En las próximas semanas, el comportamiento climático indica **mantenimiento** en los volúmenes de lluvia, el modelo de pronóstico subestacional sugiere un comportamiento **cerca de la normalidad**.

Cuencas de los ríos Beni y Madre de Dios



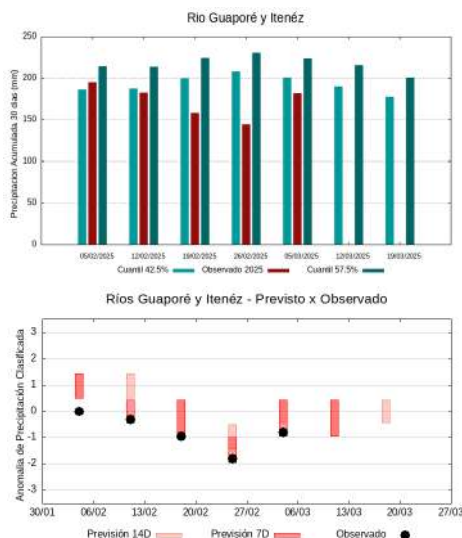
La climatología del período analizado indica precipitaciones consideradas normales con registros que varían entre **226 y 252 mm** (quantiles de referencia 42.5% y 57.5%). El **5 de marzo de 2025**, se observaron **222 mm** de la precipitación media acumulada sobre la cuenca en 30 días, el cálculo de la media del índice de anomalía categorizada en el área de la cuenca el valor de **-0.4**, o que clasifica la cuenca en condición de **normalidad**. En las próximas semanas, el comportamiento climático indica **reducción** en los volúmenes de lluvia, el modelo de pronóstico subestacional sugiere un comportamiento **cerca de la normalidad o con tendencia a lluvioso**.

Cuenca del Río Mamoré



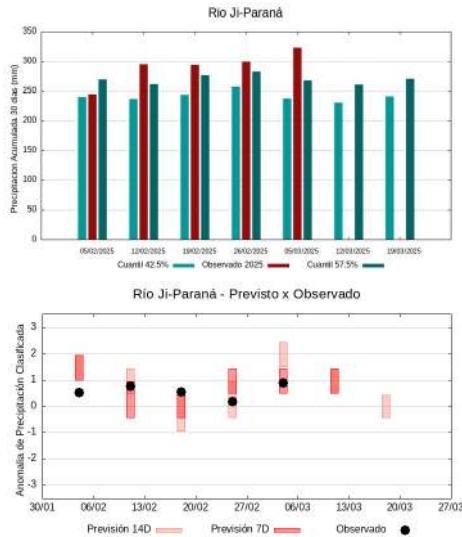
La climatología del período analizado indica precipitaciones consideradas normales con registros que varían entre **201 y 223 mm** (quantiles de referencia 42.5% y 57.5%). El **5 de marzo de 2025**, se observaron **182 mm** de la precipitación media acumulada sobre la cuenca en 30 días, el cálculo de la media del índice de anomalía categorizada en el área de la cuenca el valor de **-0.7**, o que clasifica la cuenca en condición de **tendiendo a seco**. En las próximas semanas, el comportamiento climático indica **reducción** en los volúmenes de lluvia, el modelo de pronóstico subestacional sugiere un comportamiento **cerca de la normalidad o con tendencia a ser seco**.

Cuenca de los ríos Guaporé y Iténez



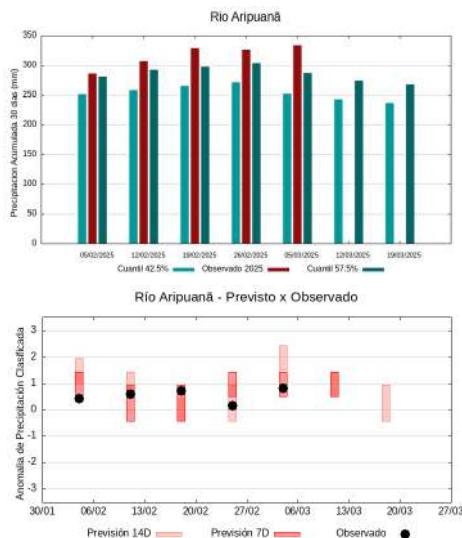
La climatología del período analizado indica precipitaciones consideradas normales con registros que varían entre **201 y 223 mm** (quantiles de referencia 42.5% y 57.5%). El **5 de marzo de 2025**, se observaron **182 mm** de la precipitación media acumulada sobre la cuenca en 30 días, el cálculo de la media del índice de anomalía categorizada en el área de la cuenca el valor de **-0.7**, o que clasifica la cuenca en condición de **tendiendo a seco**. En las próximas semanas, el comportamiento climático indica **reducción** en los volúmenes de lluvia, el modelo de pronóstico subestacional sugiere un comportamiento **cerca de la normalidad o con tendencia a ser seco**.

Cuenca del Río Ji-Paraná



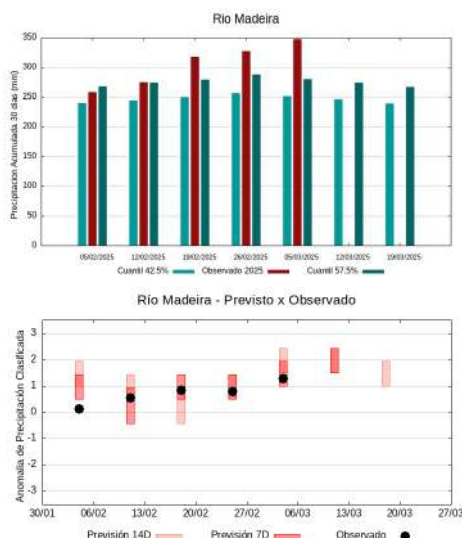
La climatología del período analizado indica precipitaciones consideradas normales con registros que varían entre **237 y 269 mm** (quantiles de referencia 42.5% y 57.5%). El **5 de marzo de 2025**, se observaron **323 mm** de la precipitación media acumulada sobre la cuenca en 30 días, el cálculo de la media del índice de anomalía categorizada en el área de la cuenca el valor de **1.0**, o que clasifica la cuenca en condición de **lluvioso**. En las próximas semanas, el comportamiento climático indica **mantenimiento** en los volúmenes de lluvia, el modelo de pronóstico subestacional sugiere un comportamiento **lluvioso o propenso a lluvioso**.

Cuenca del Río Aripuanã



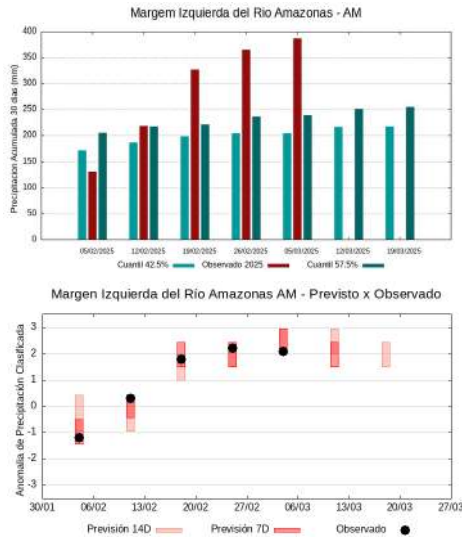
La climatología del período analizado indica precipitaciones consideradas normales con registros que varían entre **252 y 287 mm** (quantiles de referencia 42.5% y 57.5%). El **5 de marzo de 2025**, se observaron **334 mm** de la precipitación media acumulada sobre la cuenca en 30 días, el cálculo de la media del índice de anomalía categorizada en el área de la cuenca el valor de **0.9**, o que clasifica la cuenca en condición de **tendiendo a lluvioso**. En las próximas semanas, el comportamiento climático indica **mantenimiento** en los volúmenes de lluvia, el modelo de pronóstico subestacional sugiere un comportamiento **lluvioso o propenso a lluvioso**.

Cuenca del Río Madeira



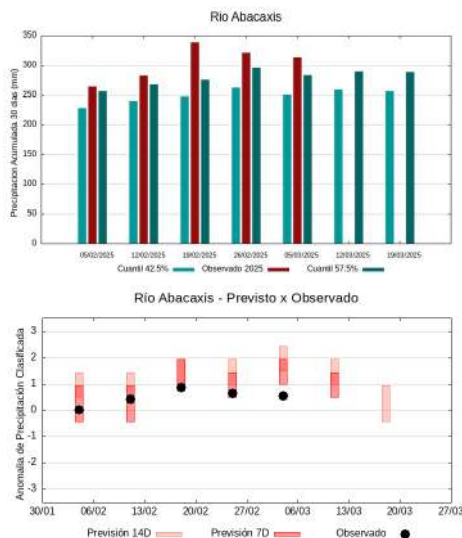
La climatología del período analizado indica precipitaciones consideradas normales con registros que varían entre **251 y 280 mm** (quantiles de referencia 42.5% y 57.5%). El **5 de marzo de 2025**, se observaron **348 mm** de la precipitación media acumulada sobre la cuenca en 30 días, el cálculo de la media del índice de anomalía categorizada en el área de la cuenca el valor de **1.5**, o que clasifica la cuenca en condición de **tendiendo a muy lluvioso**. En las próximas semanas, el comportamiento climático indica **mantenimiento** en los volúmenes de lluvia, el modelo de pronóstico subestacional sugiere un comportamiento **muy lluvioso o con tendencia a muy lluvioso**.

Cuencas de la margen izquierda del Río Amazonas (Amazonas)



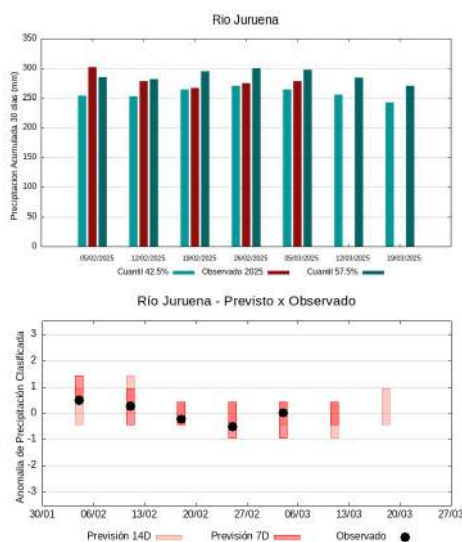
La climatología del período analizado indica precipitaciones consideradas normales con registros que varían entre **205 y 239 mm** (quantiles de referencia 42.5% y 57.5%). El **5 de marzo de 2025**, se observaron **386 mm** de la precipitación media acumulada sobre la cuenca en 30 días, el cálculo de la media del índice de anomalía categorizada en el área de la cuenca el valor de **2.3**, o que clasifica la cuenca en condición de **muy lluvioso**. En las próximas semanas, el comportamiento climático indica **mantenimiento** en los volúmenes de lluvia, el modelo de pronóstico subestacional sugiere un comportamiento **muy lluvioso o con tendencia a muy lluvioso**.

Cuenca del Río Abacaxis



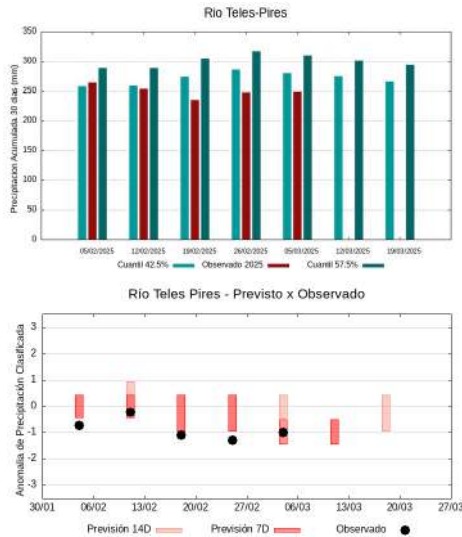
La climatología del período analizado indica precipitaciones consideradas normales con registros que varían entre **250 y 283 mm** (quantiles de referencia 42.5% y 57.5%). El **5 de marzo de 2025**, se observaron **312 mm** de la precipitación media acumulada sobre la cuenca en 30 días, el cálculo de la media del índice de anomalía categorizada en el área de la cuenca el valor de **0.7**, o que clasifica la cuenca en condición de **tendiendo a lluvioso**. En las próximas semanas, el comportamiento climático indica **mantenimiento** en los volúmenes de lluvia, el modelo de pronóstico subestacional sugiere un comportamiento **lluvioso o propenso a lluvioso**.

Cuenca del Río Juruena



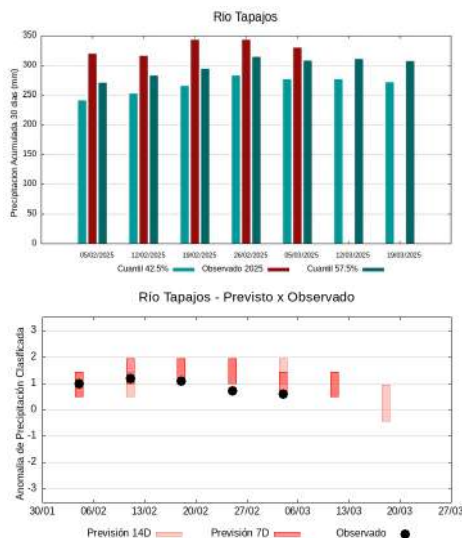
La climatología del período analizado indica precipitaciones consideradas normales con registros que varían entre **265 y 297 mm** (quantiles de referencia 42.5% y 57.5%). El **5 de marzo de 2025**, se observaron **278 mm** de la precipitación media acumulada sobre la cuenca en 30 días, el cálculo de la media del índice de anomalía categorizada en el área de la cuenca el valor de **0.0**, o que clasifica la cuenca en condición de **normalidad**. En las próximas semanas, el comportamiento climático indica **reducción** en los volúmenes de lluvia, el modelo de pronóstico subestacional sugiere un comportamiento **cerca de la normalidad**.

Cuenca del Río Teles Pires



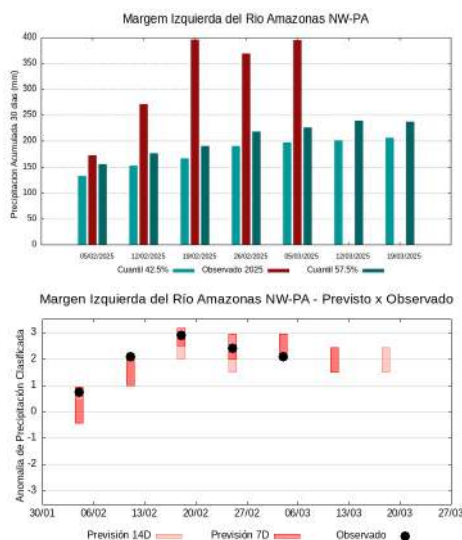
La climatología del período analizado indica precipitaciones consideradas normales con registros que varían entre **280 y 310 mm** (quantiles de referencia 42.5% y 57.5%). El **5 de marzo de 2025**, se observaron **248 mm** de la precipitación media acumulada sobre la cuenca en 30 días, el cálculo de la media del índice de anomalía categorizada en el área de la cuenca el valor de **-0.9**, o que clasifica la cuenca en condición de **tendiendo a seco**. En las próximas semanas, el comportamiento climático indica **mantenimiento** en los volúmenes de lluvia, el modelo de pronóstico subestacional sugiere un comportamiento **seco o con tendencia a ser seco**.

Cuenca del Río Tapajós



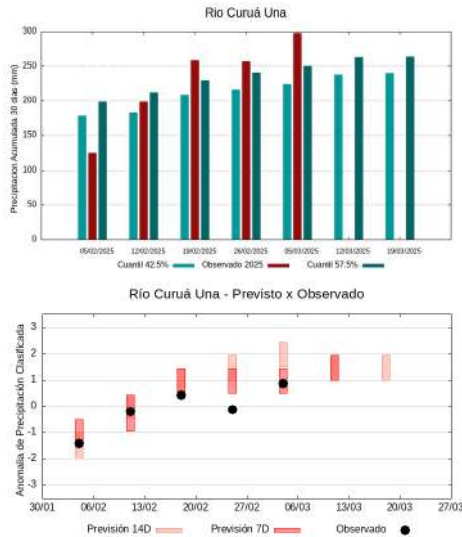
La climatología del período analizado indica precipitaciones consideradas normales con registros que varían entre **276 y 308 mm** (quantiles de referencia 42.5% y 57.5%). El **5 de marzo de 2025**, se observaron **330 mm** de la precipitación media acumulada sobre la cuenca en 30 días, el cálculo de la media del índice de anomalía categorizada en el área de la cuenca el valor de **0.7**, o que clasifica la cuenca en condición de **tendiendo a lluvioso**. En las próximas semanas, el comportamiento climático indica **mantenimiento** en los volúmenes de lluvia, el modelo de pronóstico subestacional sugiere un comportamiento **lluvioso o propenso a lluvioso**.

Cuencas de la margen izquierda del Río Amazonas (noroeste de Pará)



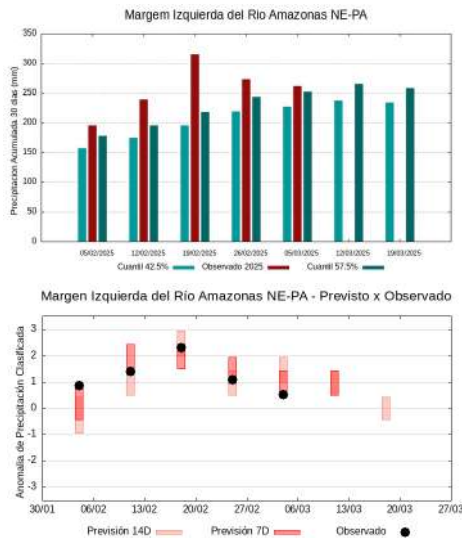
La climatología del período analizado indica precipitaciones consideradas normales con registros que varían entre **198 y 227 mm** (quantiles de referencia 42.5% y 57.5%). El **5 de marzo de 2025**, se observaron **395 mm** de la precipitación media acumulada sobre la cuenca en 30 días, el cálculo de la media del índice de anomalía categorizada en el área de la cuenca el valor de **2.3**, o que clasifica la cuenca en condición de **muy lluvioso**. En las próximas semanas, el comportamiento climático indica **mantenimiento** en los volúmenes de lluvia, el modelo de pronóstico subestacional sugiere un comportamiento **muy lluvioso o con tendencia a muy lluvioso**.

Cuenca del Río Curuá Una



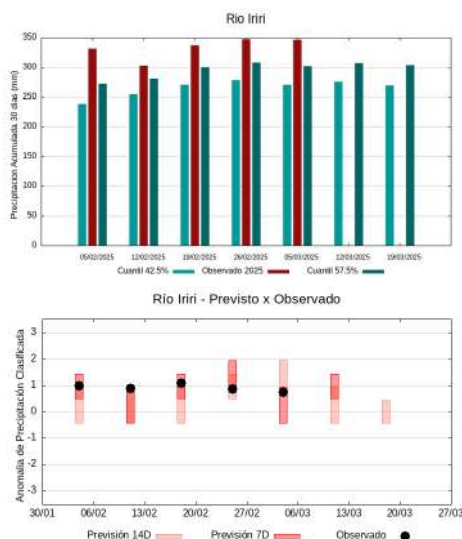
La climatología del período analizado indica precipitaciones consideradas normales con registros que varían entre **224 y 250 mm** (quantiles de referencia 42.5% y 57.5%). El **5 de marzo de 2025**, se observaron **297 mm** de la precipitación media acumulada sobre la cuenca en 30 días, el cálculo de la media del índice de anomalía categorizada en el área de la cuenca el valor de **1.4**, o que clasifica la cuenca en condición de **lluvioso**. En las próximas semanas, el comportamiento climático indica **mantenimiento** en los volúmenes de lluvia, el modelo de pronóstico subestacional sugiere un comportamiento **lluvioso o con tendencia a ser muy lluvioso**.

Cuencas de la margen izquierda del Río Amazonas (noreste do PA)



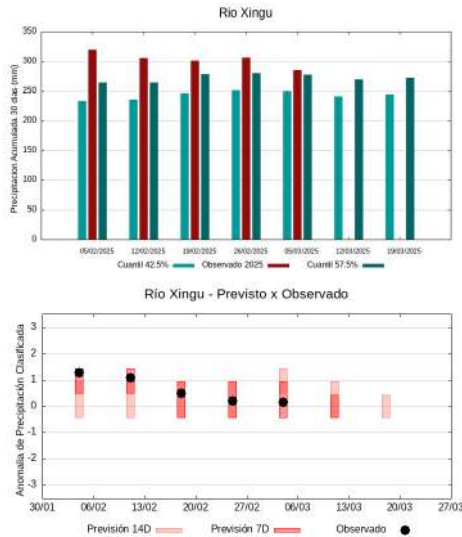
La climatología del período analizado indica precipitaciones consideradas normales con registros que varían entre **226 y 252 mm** (quantiles de referencia 42.5% y 57.5%). El **5 de marzo de 2025**, se observaron **262 mm** de la precipitación media acumulada sobre la cuenca en 30 días, el cálculo de la media del índice de anomalía categorizada en el área de la cuenca el valor de **0.5**, o que clasifica la cuenca en condición de **tendiendo a lluvioso**. En las próximas semanas, el comportamiento climático indica **mantenimiento** en los volúmenes de lluvia, el modelo de pronóstico subestacional sugiere un comportamiento **muy lluvioso o con tendencia a muy lluvioso**.

Cuenca del Río Iri

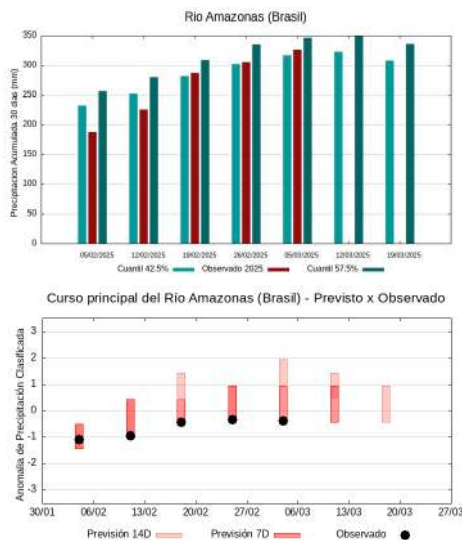


La climatología del período analizado indica precipitaciones consideradas normales con registros que varían entre **270 y 302 mm** (quantiles de referencia 42.5% y 57.5%). El **5 de marzo de 2025**, se observaron **346 mm** de la precipitación media acumulada sobre la cuenca en 30 días, el cálculo de la media del índice de anomalía categorizada en el área de la cuenca el valor de **0.9**, o que clasifica la cuenca en condición de **lluvioso**. En las próximas semanas, el comportamiento climático indica **mantenimiento** en los volúmenes de lluvia, el modelo de pronóstico subestacional sugiere un comportamiento **lluvioso o propenso a lluvioso**.

Cuenca del Río Xingu



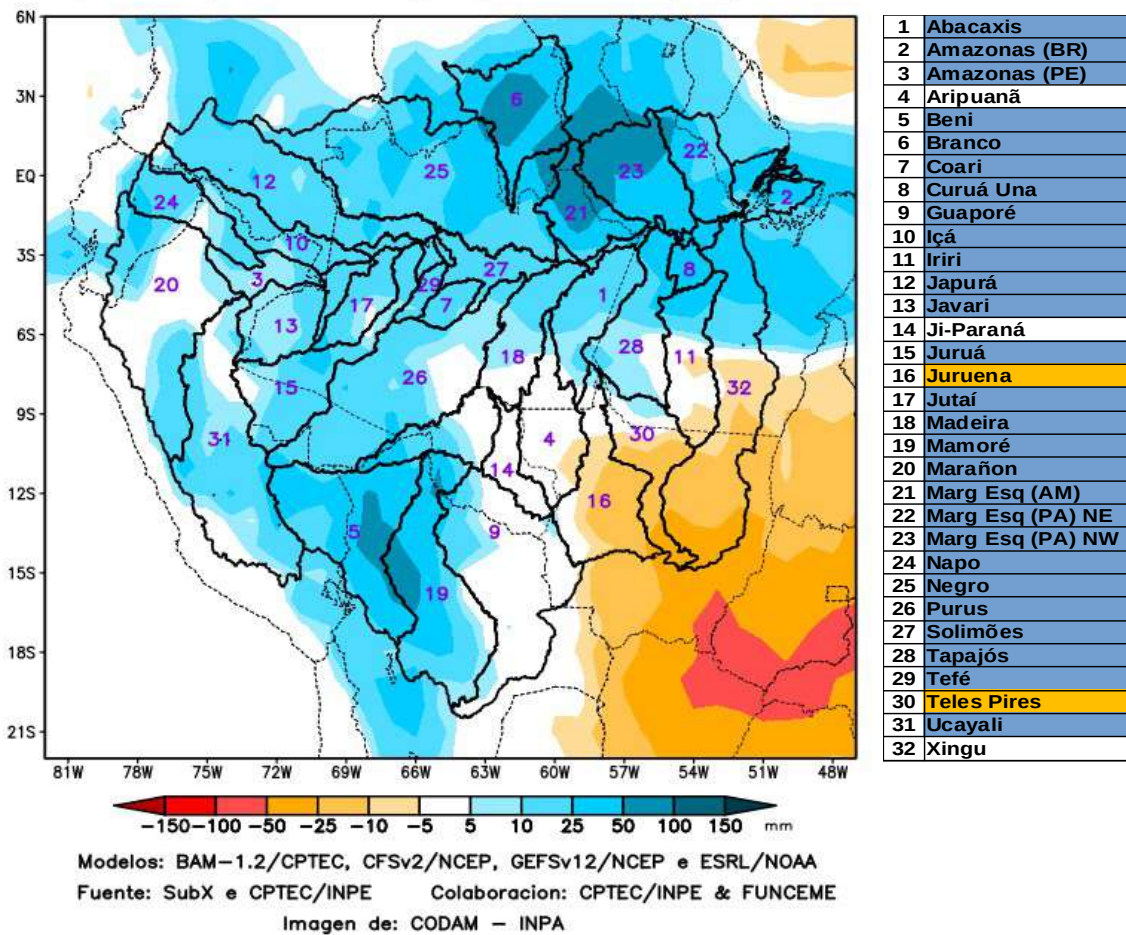
Curso principal del Río Amazonas (Brasil)



Pronóstico multimodelo subestacional CPTEC/INPE-FUNCEME elaborada el 04/03/2025 para los próximos 7 y 14 días.

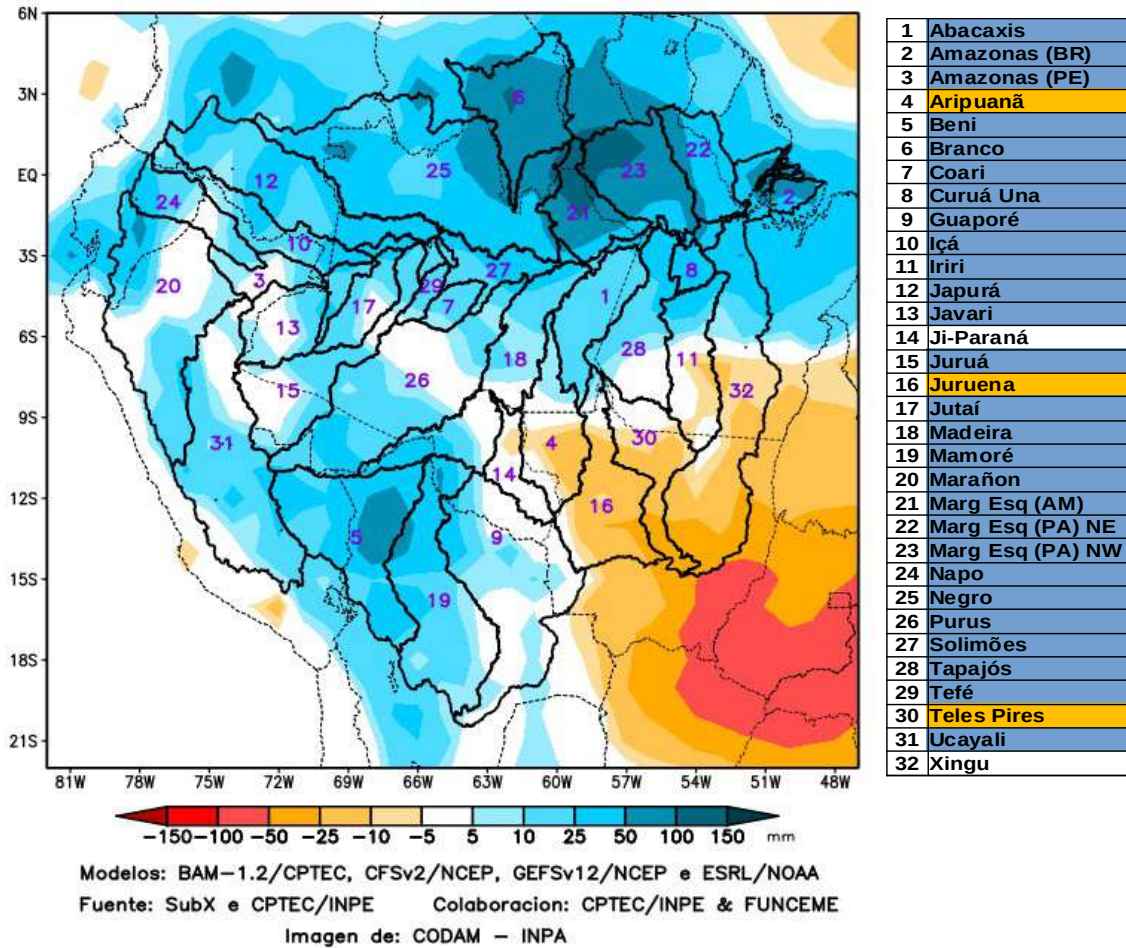
El pronóstico multimodelo subestacional calibrado CPTEC/INPE-FUNCEME se genera a través de la cooperación científica entre CPTEC/INPE y FUNCEME, y proviene del conjunto de 4 modelos globales (un modelo brasileño, el BAM-1.2/CPTEC, y tres modelos del USA, CFSv2/NCEP, GEFSv12/NCEP y ESRL/NOAA, estos tres últimos del proyecto SubX). Las anomalías de precipitación previstas se determinan en relación al período climatológico de 1999 a 2016. A continuación se presentan los resultados para el intervalo de pronóstico de 07 y 14 días, detallando el comportamiento previsto sobre las cuencas de interés.

PRONOSTICO MULTIMODELO SUBESTACIONAL CALIBRADO
Anomalia Pluviometrica Acumulada (mm)
(07 Dias) Periodo: 05/03/2025 – 11/03/2025



La figura de arriba muestra el pronóstico para el intervalo de 7 días entre el 05/03/2025 y el 11/03/2025, previsión de anomalías de precipitación positivas (azul) sobre la casi totalidad de la zona vigilada. Previsión de déficit de precipitaciones (naranja) en las cuencas de los ríos Juruena y Teles Pires. Precipitaciones próximas a la climatología (blanco) en las cuencas de los ríos Aripuanã, Ji-Paraná y Xingu.

PRONOSTICO MULTIMODELO SUBESTACIONAL CALIBRADO
 Anomalia Pluviométrica Acumulada (mm)
 (14 Dias) Período: 05/03/2025 – 18/03/2025



La figura de arriba muestra el pronóstico para el intervalo de 14 días entre el 05/03/2025 y el 18/03/2025, previsión de anomalías pluviométricas positivas (azul) sobre la casi totalidad del área vigilada. Previsión de déficit pluviométrico (naranja) en las cuencas de los ríos Aripuanã, Juruena y Teles Pires. Precipitaciones próximas a la climatología (blanco) en las cuencas de los ríos Ji-Paraná y Xingu.

Valores de referencia de las precipitaciones acumuladas durante 30 días en la fecha del análisis.

La Tabla 1 muestra los valores medios de precipitación acumulada (mm de lluvia) por cuenca, basados en estimaciones de precipitación mediante imágenes de satélite, producto denominado MERGE/GPM, puesto a disposición por el Instituto Nacional de Investigaciones Espaciales, para el periodo 2000 - 2024, teniendo en cuenta los límites geográficos de las cuencas hidrológicas de la Amazonia, se utilizó la técnica de cuantiles, por ser una herramienta adecuada y precisa para categorizar la precipitación y las anomalías de variables discretas. Se adoptaron los siguientes umbrales: 5%, 12,5%, 20%, 27,5%, 35%, 42,5%, 57,5%, 65%, 72,5%, 80%, 87,5% y 95%, con el fin de estratificar la técnica y permitir una categorización más detallada de las condiciones de cada cuenca monitoreada.

05/03/2025	Cuantiles para clasificar las anomalías de precipitación											
	5.0%	12.5%	20.0%	27.5%	35.0%	42.5%	57.5%	65.0%	72.5%	80.0%	87.5%	95.0%
Abacaxis	125	142	176	204	227	250	283	307	332	363	385	444
Amazonas (BR)	194	216	247	272	295	316	347	368	391	421	436	481
Amazonas (PE)	163	186	221	244	270	299	334	357	380	407	423	473
Aripuanã	129	144	173	200	226	252	287	309	335	366	386	442
Beni	160	176	200	219	236	253	278	296	319	347	366	425
Branco	8	12	18	25	33	42	56	69	86	109	124	184
Coari	183	198	222	238	252	267	288	305	326	352	369	422
Curuá Una	129	149	168	189	210	224	250	269	286	310	326	371
Guaporé	117	132	154	171	186	201	223	240	259	282	296	341
Içá	141	157	185	208	228	248	276	295	319	349	368	425
Iriri	134	157	193	225	248	270	302	326	352	388	411	480
Japurá	106	123	150	171	190	210	241	262	286	313	330	382
Javari	145	174	205	231	253	273	302	323	346	374	391	441
Ji-Paraná	113	133	173	197	217	237	269	292	317	345	363	414
Juruá	157	175	203	225	242	259	284	303	324	352	369	424
Juruena	148	166	195	218	242	265	297	319	342	371	389	444
Jutaí	190	213	241	262	279	298	329	353	379	409	427	476
Madeira	133	154	186	210	231	251	280	301	323	349	365	409
Mamoré	136	150	173	192	209	226	252	272	294	323	343	404
Marañon	94	106	127	144	160	176	199	215	233	255	269	310
Marg Esq (AM)	89	113	138	159	182	205	239	262	287	321	343	420
Marg Esq (PA) NE	117	144	172	193	210	226	252	270	292	326	344	395
Marg Esq (PA) NW	95	115	142	162	180	198	227	250	280	325	349	422
Napo	109	127	157	184	205	227	261	285	312	344	363	420
Negro	90	105	127	147	166	186	222	247	275	307	328	390
Purus	180	201	225	245	262	278	304	321	342	368	386	438
Solimões	146	167	201	224	245	265	292	313	336	365	383	432
Tapajós	125	155	196	230	255	276	308	331	357	388	408	467
Tefé	168	186	211	237	255	272	296	312	331	356	372	414
Teles Pires	150	171	206	238	262	280	310	331	354	384	405	467
Ucayali	109	122	143	160	174	188	210	226	244	268	283	330
Xingu	131	154	185	210	230	249	277	298	321	350	368	426

Taba 1. Quantiles de precipitaciones acumuladas (mm) en 30 días (4 de febrero a 5 de marzo), Climatología para el período (2000 - 2024) datos MERGE/GPM – INPE/CPTEC.

Categorización das anomalias de precipitação

Utilizando los valores de la tabla anterior, es posible categorizar la precipitación observada en el año en curso en relación con los valores observados en registros anteriores desde el inicio de la serie disponible, de modo que los valores observados sean menores al cuantil 5. % caracteriza la cuenca en condición extremadamente seco, entre 5 y 12,5% en condición que tiende a ser extremadamente seco, entre 12,5 y 20% en condición muy seco, entre 20 y 27,5% en condición que tiende a ser muy seco, entre 27.5 y 35% en condición seco, entre 35 y 42.5 tiende a ser seco, valores entre 42.5 y 57.5 definen la condición normal, valores entre 57.5 y 65% tienden a ser lluvioso, entre un 65 y un 72,5% son lluvioso, entre un 72,5 y un 80% tienden a ser muy lluvioso, entre un 80 y un 87,5 son muy lluvioso, entre un 87,5 y un 95% indican tendencia a extremadamente lluvioso y finalmente, valores superiores al 95% definen la cuenca en condiciones extremadamente lluvioso, según el título a continuación.

CUANTIL	5.0%	12.5%	20.0%	27.5%	35.0%	42.5%	57.5%	65.0%	72.5%	80.0%	87.5%	95.0%	
	-3.0	-2.5	-2.0	-1.5	-1.0	-0.5	0.0	0.5	1.0	1.5	2.0	3.0	
CATEGORÍA	EXTREMADAMENTE SECO	TENDENCIA A EXTREMADAMENTE SECO	MUY SECO	TENDENCIA A MUY SECO	SECO	TENDENCIA A SECO	NORMAL	TENDENCIA A LLUVIOSO	LLUVIOSO	TENDENCIA A MUY LLUVIOSO	MUY LLUVIOSO	TENDENCIA A EXTREMADAMENTE LLUVIOSO	EXTREMADAMENTE LLUVIOSO

Las tablas a continuación muestran (Tabla 2A) la precipitación promedio observada (mm) en cada cuenca, tomando como referencia las estimaciones de precipitación por satélite mediante la técnica MERGE, disponible en <http://ftp.cptec.inpe.br/modelos/tempo/MERGE/GPM/DAILY/> acumulado en 30 días en las fechas indicadas, se estimaron los valores promedio de las anomalías categorizadas (Tabla 2B) con base en el valor de anomalía de cada píxel en el área de la cuenca monitoreada, calculado según la metodología descrita en el ítem anterior, en las mismas fechas de monitoreo de precipitaciones, la escala de colores de las anomalías sigue la leyenda descrita.

	Precipitaciones medias acumuladas en la cuenca (mm)				
	05/02/2025	12/02/2025	19/02/2025	26/02/2025	05/03/2025
Abacaxis	265	283	338	321	312
Amazonas (BR)	187	226	288	306	326
Amazonas (PE)	182	219	313	359	367
Aripuanã	286	307	329	327	334
Beni	309	271	271	280	348
Branco	37	64	107	98	96
Coari	263	300	291	251	251
Curuá Una	125	199	258	257	297
Guaporé	195	182	158	145	182
Içá	123	177	255	296	291
Íriri	332	303	337	347	346
Japurá	69	113	169	215	220
Javari	154	194	308	324	336
Ji-Paraná	245	294	294	299	323
Juruá	175	211	265	275	275
Juruena	302	279	267	275	278
Jutai	225	291	444	465	430
Madeira	258	274	317	327	348
Mamoré	236	200	210	180	222
Marañon	88	128	178	193	228
Marg Esq (AM)	131	218	327	364	386
Marg Esq (PA) NE	196	239	315	273	262
Marg Esq (PA) NW	173	272	396	368	395
Napo	53	78	121	187	239
Negro	139	186	237	233	212
Purus	230	227	266	278	297
Solimões	178	225	289	293	270
Tapajós	319	316	343	343	330
Tefé	210	291	354	342	354
Teles Pires	265	254	234	247	248
Ucayali	148	149	191	197	212
Xingu	319	306	301	307	285

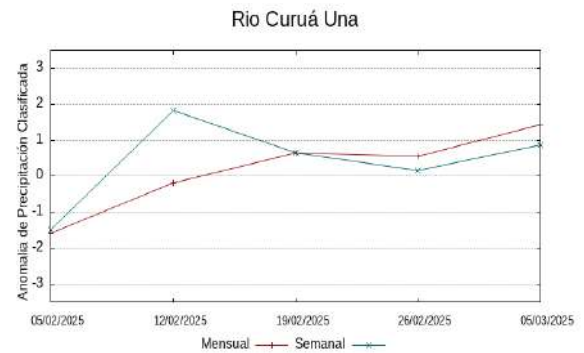
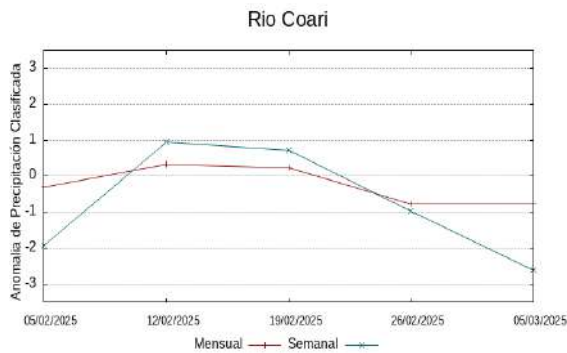
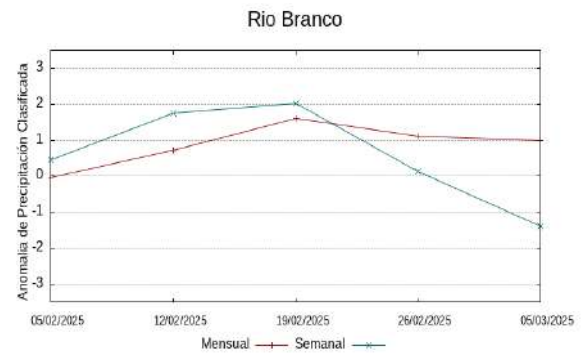
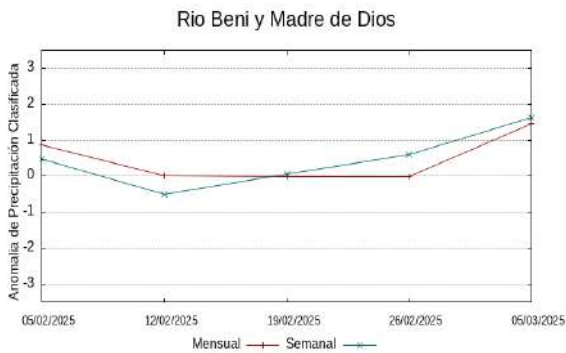
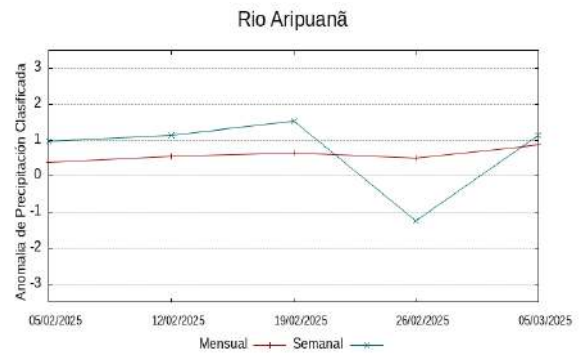
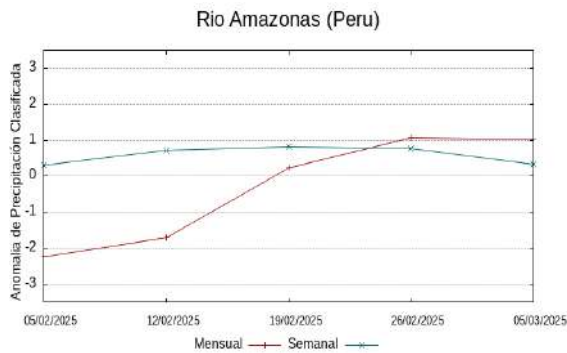
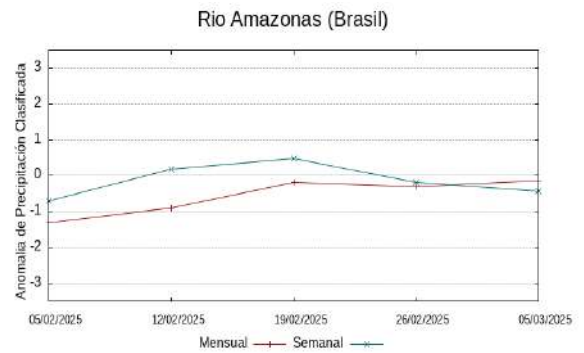
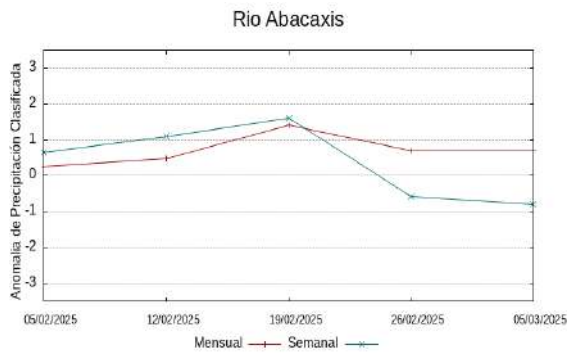
	Anomalía categorizada media en la cuenca				
	05/02/2025	12/02/2025	19/02/2025	26/02/2025	05/03/2025
0.3	0.5	1.4	0.7	0.7	
-1.3	-0.9	-0.2	-0.3	-0.1	
-2.2	-1.7	0.2	1.1	1.0	
0.4	0.6	0.6	0.5	0.9	
0.9	0.0	0.0	0.0	1.5	
0.0	0.7	1.6	1.1	1.0	
-0.3	0.3	0.2	-0.8	-0.8	
-1.6	-0.2	0.7	0.6	1.4	
-0.1	-0.4	-1.5	-1.8	-0.7	
-2.4	-1.6	0.1	0.9	0.6	
1.1	0.6	0.9	1.0	0.9	
-2.7	-2.2	-0.8	0.0	-0.2	
-2.5	-1.8	0.4	0.5	0.6	
-0.2	0.9	0.6	0.4	1.0	
-1.9	-1.2	-0.2	-0.2	-0.2	
0.7	0.2	-0.3	-0.2	0.0	
-1.7	-0.7	1.9	2.1	1.9	
0.1	0.3	0.9	1.0	1.5	
0.1	-0.8	-0.8	-1.5	-0.4	
-1.5	-0.7	0.5	0.7	1.0	
-1.0	0.5	2.2	2.1	2.3	
0.6	1.4	2.3	0.9	0.5	
0.7	2.1	3.0	2.4	2.3	
-2.9	-2.7	-1.9	-0.4	0.0	
-0.9	-0.1	1.0	0.6	0.0	
-1.2	-1.3	-0.6	-0.5	0.1	
-1.9	-1.1	0.1	0.0	-0.2	
1.1	1.0	1.1	0.9	0.7	
-1.7	0.0	1.6	1.2	1.6	
-0.3	-0.4	-1.1	-1.1	-0.9	
-1.1	-1.2	-0.1	0.0	0.3	
1.3	0.9	0.5	0.5	0.3	

Tabela 2A. Precipitación acumulada en 30 días (mm), datos MERGE/GPM – INPE/CPTEC.

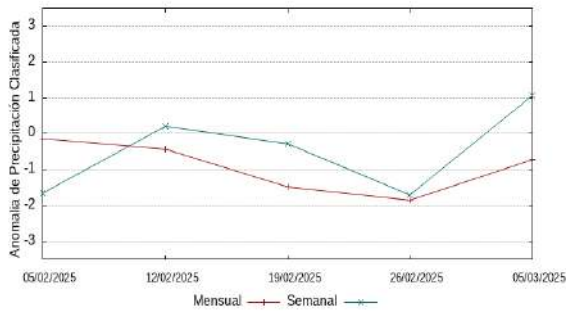
Tabela 2B. Anomalia Categorizada de precipitación por cuantiles.

Comportamiento de las anomalías de 07 y 30 días observadas en semanas anteriores

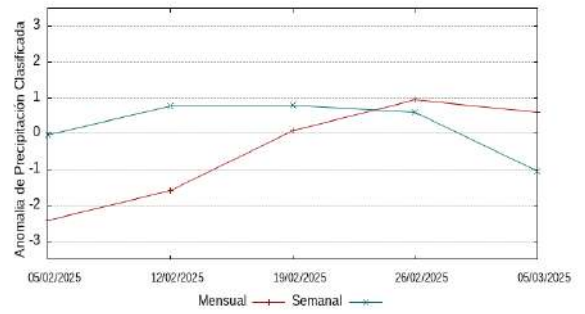
Los siguientes gráficos ilustran el comportamiento del índice de anomalía de precipitación en las últimas semanas, las líneas rojas muestran el comportamiento para periodos de 30 días y las líneas azules el comportamiento para periodos de 7 días, actualizados semanalmente.



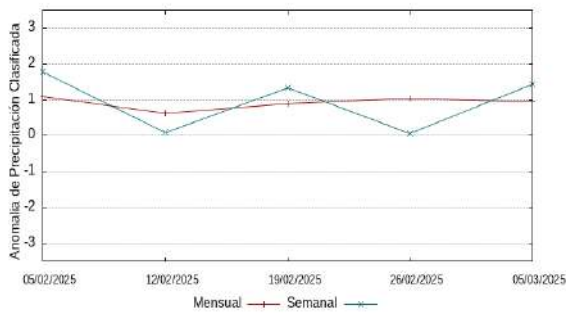
Rio Guaporé y Itenéz



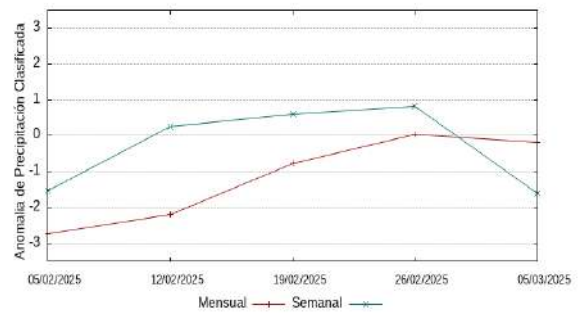
Rio Içá y Putumayo



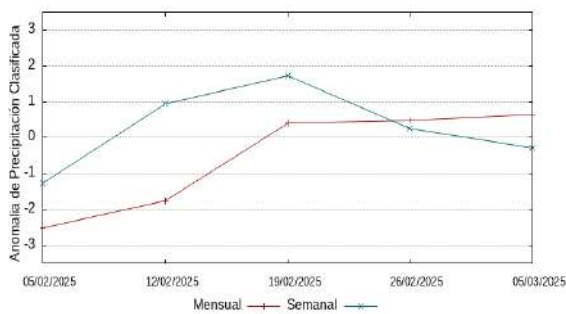
Rio Iriri



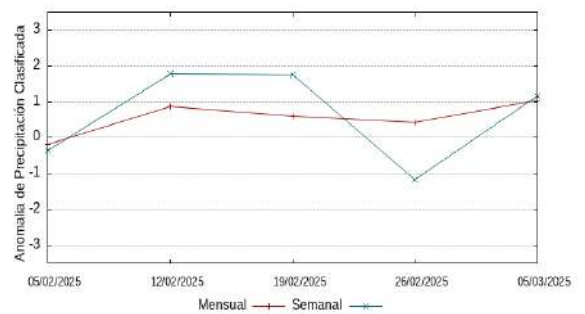
Rio Caquetá y Japurá



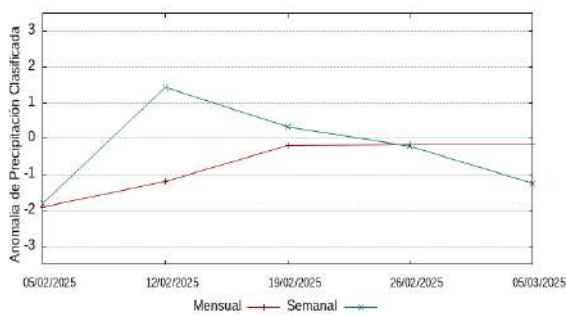
Rio Javari



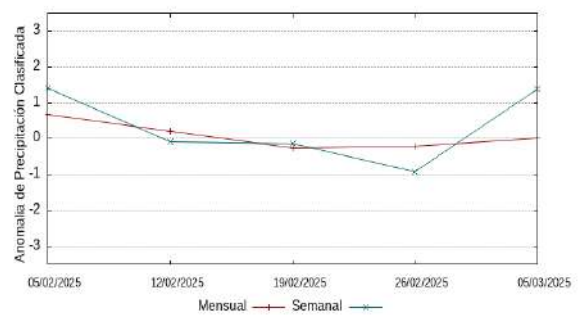
Rio Ji-Paraná



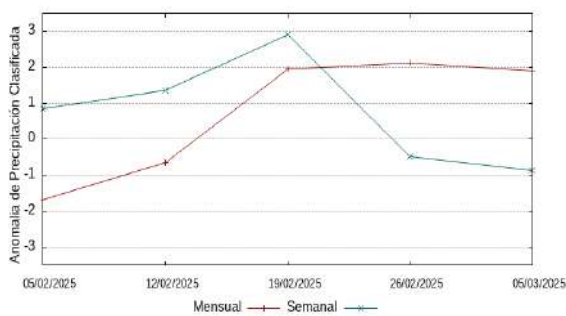
Rio Juruá



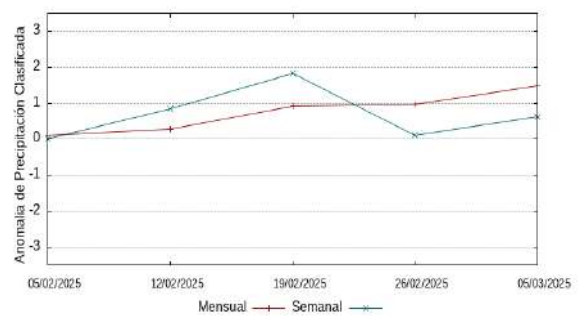
Rio Juruena



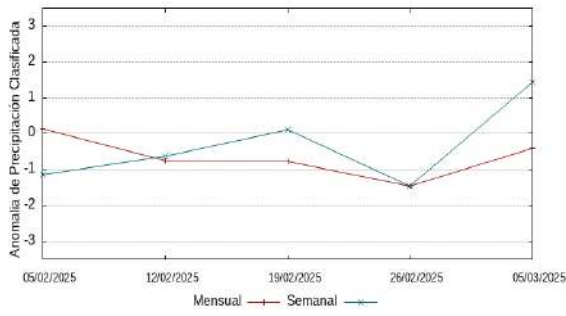
Rio Jutai



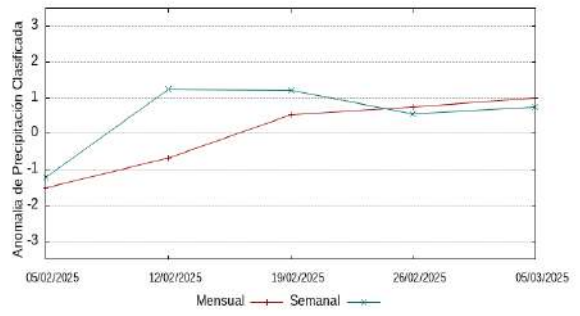
Rio Madeira



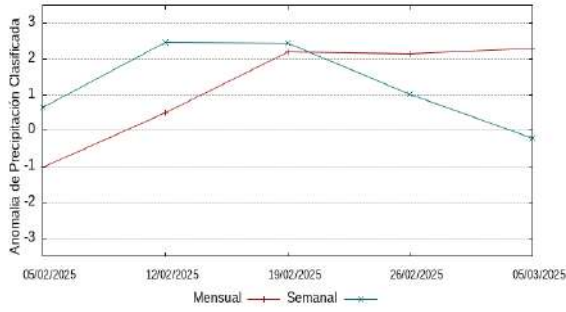
Rio Mamoré



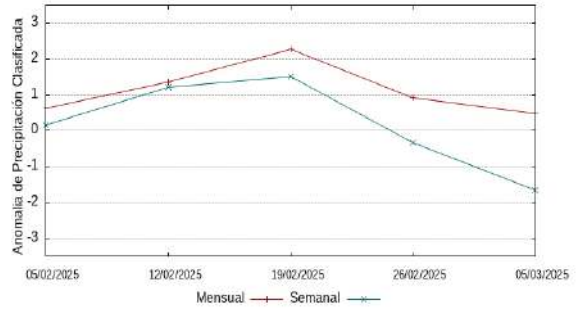
Rio Marañon



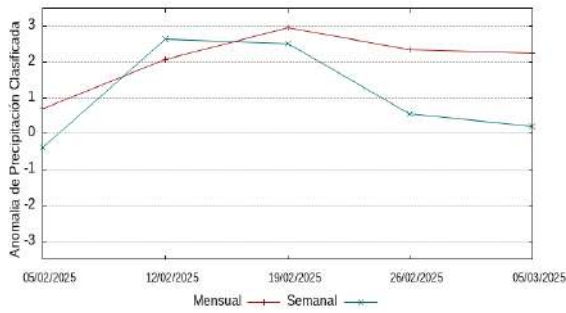
Margem Izquierda del Rio Amazonas - AM



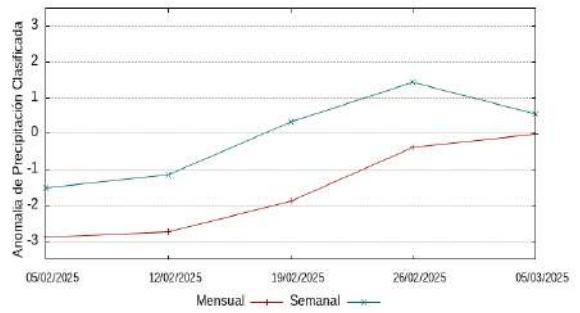
Margem Izquierda del Rio Amazonas NE-PA



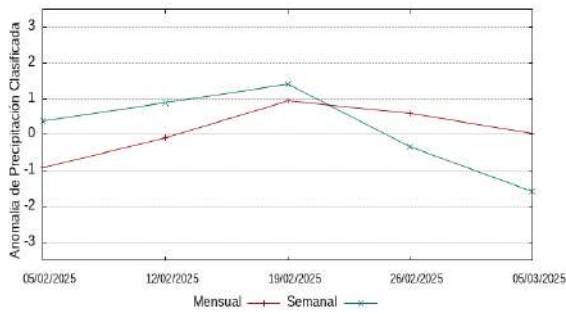
Margem Izquierda del Rio Amazonas NW-PA



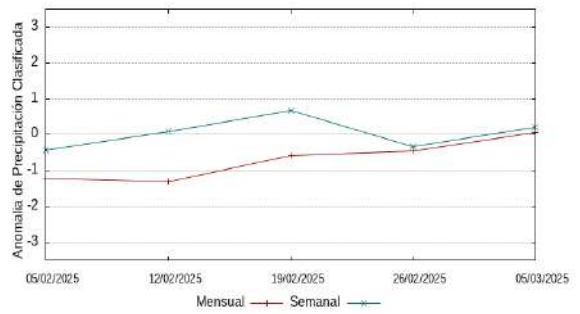
Rio Napo



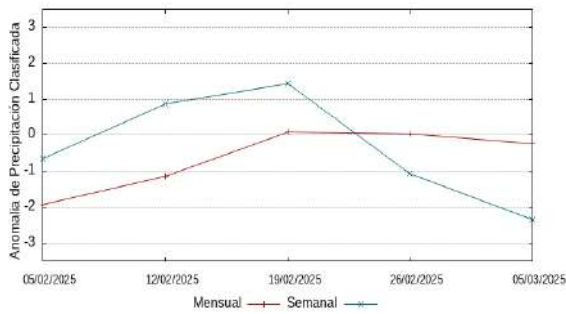
Rio Negro



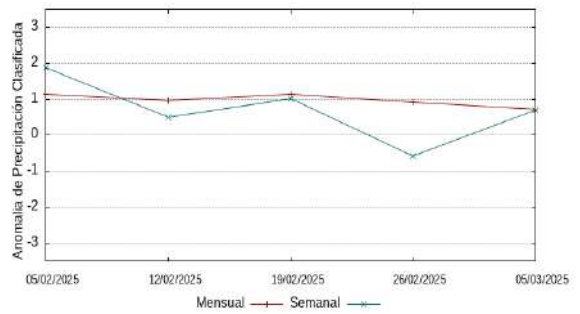
Rio Purus



Rio Solimões (curso principal)



Rio Tapajós



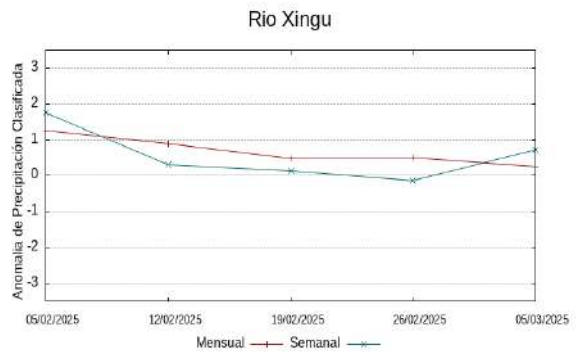
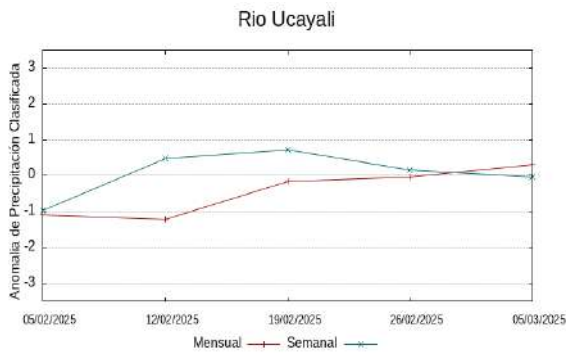
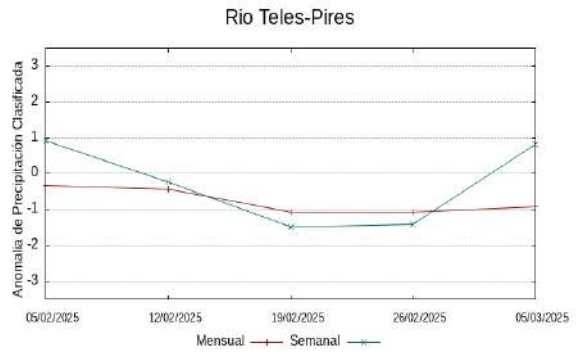
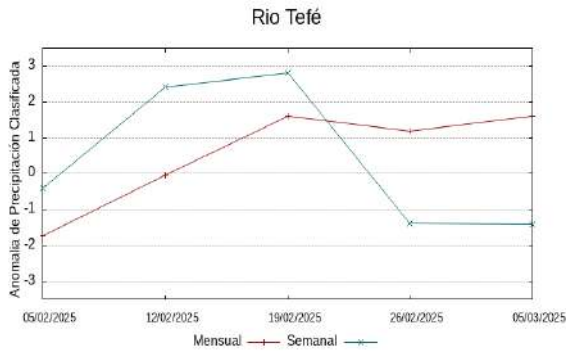
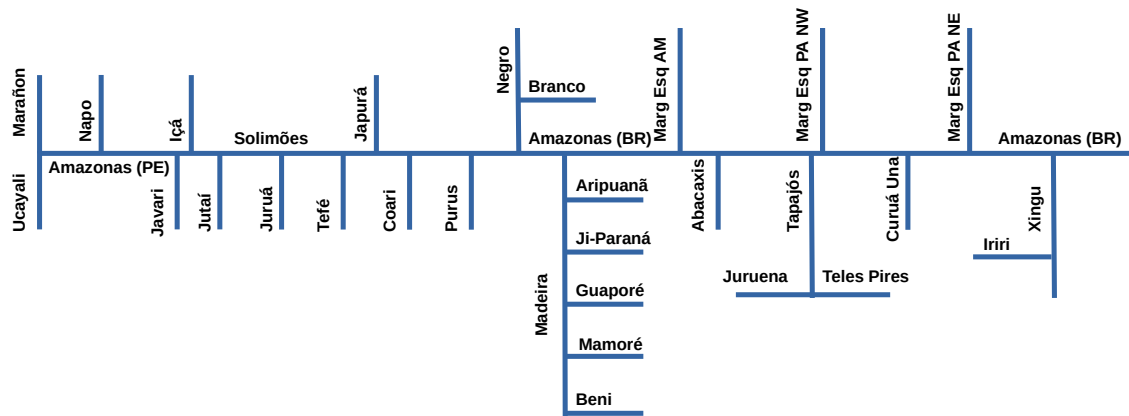


Diagrama unifilar de las cuencas representadas



Renato Cruz Senna

Pesquisador - CODAM

Meteorologista, CREA-AM 2880-D

Registro Nacional 040459935-4

Fone de contato +55 92 3643 3170

